

**АНОМАЛЬНАЯ ОРИЕНТАЦИЯ ПЛЕНОК  
ФЕРРОЭЛЕКТРИЧЕСКОГО ЖИДКОГО КРИСТАЛЛА В  
ЭЛЕКТРИЧЕСКОМ ПОЛЕ**

*П.О.Андреева, В.К.Долганов<sup>1)</sup>, К.П.Мелетов*

*Институт физики твердого тела  
142432 Черноголовка, Московская обл., Россия*

Поступила в редакцию 5 августа 1997 г.

Обнаружена аномальная ориентация ферроэлектрических жидкокристаллов в электрическом поле. Плоскости наклона молекул ориентируются в направлении, параллельном направлению электрического поля. Аномальная ориентация наблюдается в свободно подвешенных пленках выше температуры объемного фазового перехода смектик-С\* – смектик-А. Эффект объясняется возникновением в пленке гигантской флексоэлектрической поляризации, превосходящей в  $10^4$  раз флексоэлектрическую поляризацию в объемных жидкокристаллических образцах.

PACS: 60.30.-v, 64.70.Md, 68.15.+e

Ферроэлектрические жидкие кристаллы ( $\text{Sm-C}^*$ ) имеют слоистую структуру, каждый слой представляет из себя двумерную жидкость с длинными осями хиральных молекул, наклоненных к нормали смектических слоев [1,2]. Спонтанная поляризация  $P_0$  в смектическом слое перпендикулярна плоскости наклона молекул ( $P_0$  параллелен вектору  $[z \times n]$ ,  $z$  – нормаль к смектической плоскости,  $n$  – директор, то есть направление преимущественной ориентации длинных осей молекул). Хиральность молекул вызывает поворот плоскости наклона молекул (и, соответственно, поворот спонтанной поляризации) в соседних смектических слоях, что приводит к отсутствию макроскопической поляризации в образцах, больших по сравнению с шагом геликоидальной спирали. Если размер образца в направлении нормали к смектической плоскости меньше шага спирали или к кристаллу приложено электрическое поле, достаточное для раскрутки спирали, ферроэлектрический жидкий кристалл имеет макроскопическую спонтанную поляризацию  $P_0$ . Наличие спонтанной поляризации  $P_0$ , возможность ориентирования ферроэлектрических жидкокристаллов в слабых электрических полях и, в связи с этим, многочисленные технические приложения вызывают повышенный интерес к исследованию ферроэлектрических жидкокристаллических структур. Подчеркнем еще раз, что в электрическом поле полярная ось ферроэлектрического жидкого кристалла должна ориентироваться вдоль поля, плоскость наклона молекул в смектических слоях – перпендикулярно направлению поля. Это следует из симметрии ферроэлектрического жидкого кристалла и подтверждено в многочисленных экспериментах.

В настоящей работе обнаружено, что в свободно подвешенных пленках выше температуры объемного фазового перехода  $\text{Sm-C}^*$  –  $\text{Sm-A}$  происходит скачкообразное изменение направления ориентации молекул. Если при низких температурах электрическое поле ориентирует ферроэлектрическую пленку так

<sup>1)</sup> e-mail: dolganov@issp.ac.ru

же, как и объемный образец, то при высокой температуре ориентация изменяется на 90°: плоскости наклона молекул ориентируются вдоль поля. Переориентация структуры связывается нами с возникновением в пленке аномально большой флексоэлектрической поляризации  $P_f$ , направленной перпендикулярно спонтанной ферроэлектрической поляризации  $P_0$ .

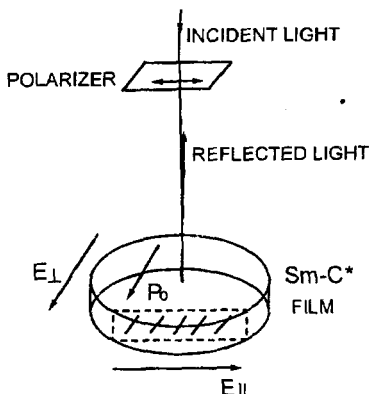


Рис.1. Взаимное расположение ферроэлектрической пленки и оптической части установки. Ориентация молекул в пленке показана для случая, когда пленка находится в низкотемпературной области Sm-C\* фазы и к ней приложено электрическое поле  $E_{\perp}$ .  $P_0$  – вектор ферроэлектрической поляризации

Измерения проведены в ферроэлектрическом жидкокристалле *n*-нионилоксибензилиден-*n'*-амино-2-метилбутилциннамате (НОБАМБЦ), имеющем в объемном образце следующую последовательность фазовых переходов: Sm-H\* (76°C) – Sm-C\* (91°C) – Sm-A(116°C) – I (изотропная жидкость). Переход Sm-C\* – Sm-A – фазовый переход второго рода. Часть измерений проведена на ферроэлектрическом жидкокристалле *n*-децилоксибензилиден-*n'*-амино-2-метилбутилциннамате (ДОБАМБЦ), образующем те же жидкокристаллические фазы, что и НОБАМБЦ. Пленки располагались в 6-миллиметровом отверстии стеклянной пластины. В свободно подвешенных пленках плоскости смектических слоев параллельны поверхности пленки. Оптическое отражение от пленок измерялось в геометрии "назад" (рис.1). Электрическое поле (3 В/см) могло быть приложено к пленке в двух взаимно перпендикулярных направлениях. Толщина пленок (при числе смектических слоев  $N > 12$ ) определялась из спектральной зависимости оптического отражения в фазе Sm-A [3]:

$$I(\lambda) = \frac{(n^2 - 1)^2 \sin^2(2\pi n N d / \lambda)}{4n^2 + (n^2 - 1)^2 \sin^2(2\pi n N d / \lambda)}, \quad (1)$$

где  $d$  – межплоскостное расстояние ( $d \approx 3.2$  нм в фазе Sm-A НОБАМБЦ),  $n = 1.48$  ( $\lambda = 630$  нм) – показатель преломления. Для тонких пленок спектральная зависимость отражения практически не зависит от толщины:

$$I(\lambda) \approx N^2 d^2 \pi^2 (n^2 - 1)^2 / \lambda^2. \quad (2)$$

В этом случае количество смектических слоев определялось из относительной интенсивности отражений у пленок с различным числом слоев  $I(N) \sim N^2$ . Для приготовления пленок нужной толщины использовался эффект послойного утоньшения при нагреве выше температуры объемного фазового перехода жидкокристалл – изотропная жидкость [4–6].

В свободно подвешенных пленках переход в фазу Sm-A сдвинут в область более высоких температур по отношению к переходу в объемном образце

[7–9]. В настоящей работе в области температур Sm-C\* и при переходе в фазу Sm-A измерялось оптическое отражение ( $I_{\parallel}$ ,  $I_{\perp}$ ) для направлений электрического поля, параллельного ( $E_{\parallel}$ ) и перпендикулярного ( $E_{\perp}$ ) плоскости поляризации света. Этот метод позволял регистрировать различие интенсивностей при переключении направления электрического поля  $\sim 10^{-3}$ . Оптическая анизотропия в плоскости пленки связана с наклоном длинных осей молекул в Sm-C\*. Показатель преломления  $n_0 = n_{\perp}$  в направлении, перпендикулярном плоскости наклона молекул, практически не зависит от температуры ( $n_0$  – обычновенный показатель преломления). Показатель преломления для необыкновенного луча,  $n_e > n_0$ , изменяется с изменением угла наклона молекул  $\theta$ . Измерение отражения для двух поляризаций является простым и прямым методом, определения как ориентации пленки, так и температурной зависимости в ферроэлектрической фазе  $n_e$  и полярного угла  $\theta$  ( $\theta$  – параметр порядка для фазового перехода Sm-C\* – Sm-A). Если угол  $\theta$  не постоянен в пленке, интенсивность оптического отражения для тонких пленок определяется среднеквадратичным углом наклона молекул  $\bar{\theta}^2/N$  (усреднение по смектическим слоям пленки).

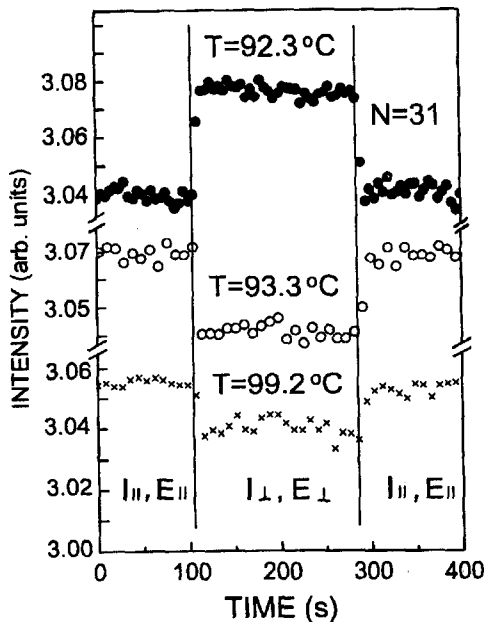


Рис.2. Интенсивности оптического отражения ( $I_{\perp}$ ,  $I_{\parallel}$ ) ферроэлектрической пленки ( $N = 31$ ) при приложении электрического поля параллельного ( $E_{\parallel}$ ) и перпендикулярного ( $E_{\perp}$ ) направлению поляризации света ( $\lambda = 630$  нм)

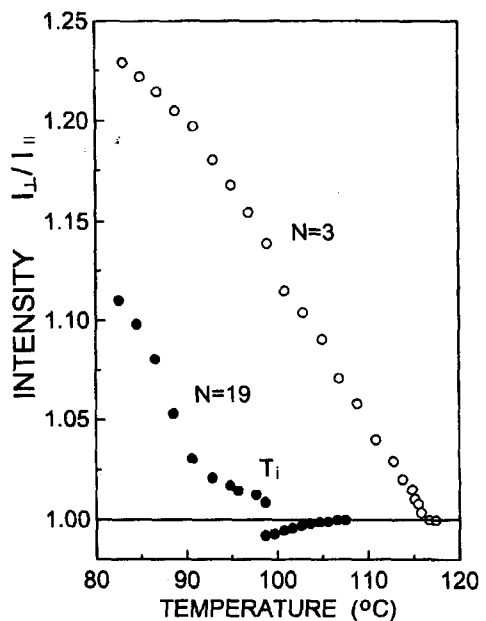


Рис.3. Температурные зависимости относительных интенсивностей оптического отражения  $I_{\perp}/I_{\parallel}$  для пленок толщиной 3 и 19 смектических слоев ( $\lambda = 630$  нм)

Изменение интенсивности отражения от пленки при переключении направления электрического поля качественно отличаются при низкой и высокой температурах (рис.2,  $N = 31$ ). При  $T < 92.8^{\circ}\text{C}$   $I_{\perp} > I_{\parallel}$ , что соответствует общепринятым представлениям о направлении спонтанной поляризации в Sm-C\*: при ориентации  $P_0$  вдоль направления электрического поля направлению,

перпендикулярному полю (плоскость наклона молекул в Sm-C<sup>\*</sup>), соответствует больший показатель преломления  $n_e$  и, соответственно, больший коэффициент отражения  $I_{\perp}$ . При  $T_i \approx 92.8^{\circ}\text{C}$  для обоих поляризаций происходит скачкообразное изменение интенсивностей отражения: интенсивность  $I_{\parallel}$  становится равной  $I_{\perp}$ , которую она имела при  $T < T_i$ , в то же время  $I_{\perp}$  уменьшается до величины  $I_{\parallel}$  при  $T < T_i$ . Выше этой температуры вплоть до перехода в Sm-A переключение поля  $E_{\parallel} \rightarrow E_{\perp}$  приводит к уменьшению интенсивности отражения. Последнее означает, что плоскость наклона молекул ориентируется вдоль направления поля. На рис.3 приведена температурная зависимость относительной интенсивности отражения  $I_{\perp}/I_{\parallel}$  для пленок  $N = 19$  и  $N = 3$ . Температура  $T_i$ , выше которой наблюдалась аномальная ориентация пленок, зависит от ее толщины и тем выше, чем тоньше пленка: для пленки 12 смектических слоев  $T_i \approx 104^{\circ}\text{C}$ , для толстых пленок  $T_i$  находится в непосредственной близости от температуры объемного фазового перехода ( $T_i - T_c \approx 0.3^{\circ}\text{C}$  для  $N = 50$ ). В сверхтонких пленках ( $N = 3$ , рис.3) мы не наблюдали аномальной ориентации.

Следует подчеркнуть, что обнаруженный эффект качественно отличается от ранее известной в ферроэлектрических жидкких кристаллах переориентации на  $180^{\circ}$  направления спонтанной поляризации [10,11]. Такая переориентация не специфична для тонких пленок и наблюдается как в пленках, так и в объемных образцах, причем плоскость наклона молекул остается перпендикулярной направлениям спонтанной поляризации и электрического поля. В нашем же случае происходит разворот структуры на  $90^{\circ}$  по отношению к направлению внешнего поля.

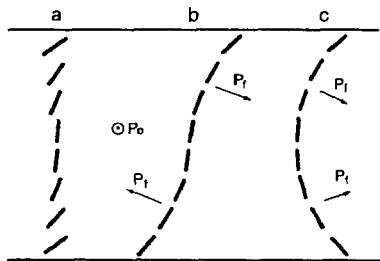


Рис.4. Ориентация молекул в смектической пленке ферроэлектрического жидкого кристалла:  $S$  – образная ориентация директора ( $a, b$ ),  $C$ -образная ориентация директора ( $c$ ).  $P_0$  – спонтанная ферроэлектрическая поляризация,  $P_f$  – флексоэлектрическая поляризация

Уменьшение абсолютной величины  $|I_{\perp}/I_{\parallel} - 1|$  при повышении температуры (рис.3) характеризует температурное изменение угла наклона молекул. При  $T = 82^{\circ}\text{C}$  угол  $\theta$ , определенный из наших данных, составляет величину  $28^{\circ}$  для пленки с  $N = 3$  и  $21^{\circ}$  для  $N = 19$ . Скачок интенсивности отражения ( $N = 19$ ) происходит при угле наклона молекул  $\theta \approx 6^{\circ}$ . Зависимость  $\theta$  от толщины пленки связана с поверхностным упорядочением смектических слоев [7–9,12]. Поверхностное упорядочение наиболее сильно проявляется выше температуры объемного фазового перехода. В этой области температур угол  $\theta$  существенно зависит от расстояния смектического слоя до поверхности [7–9]. По нашему мнению, изменение угла  $\theta$  в смектических слоях может служить причиной аномальной ориентации пленки. На рис.4a, b схематически показана ориентация молекул в смектических слоях пленки ферроэлектрического жидкого кристалла. Изгиб директора должен привести к возникновению в плоскости наклона молекул флексоэлектрической поляризации  $P_f$  [1]:

$$P_f = e_1 n(\text{div}n) + e_3 [\text{rot}n] \times n. \quad (3)$$

Сопоставим величины спонтанной поляризации  $P_0$  и индуцированной изгибом директора и флексоэлектрической поляризации  $P_f$  в области температур, где происходит переход к аномальной ориентации ( $N = 19$ ,  $\theta \approx 6^\circ$ ). Ферроэлектрическая поляризация  $P_0$  при  $\theta = 6^\circ$  составляет для веществ типа НОБАМБЦ величину порядка  $1 \cdot 10^{-5}$  Кл/м $^2$  [13]. Типичная величина флексоэффициентов  $e_1, e_3$  в жидкокристаллах  $10^{-10} - 10^{-12}$  Кл/м [2,14]. Для оценки величины  $P_f$  воспользуемся значением  $e_3 = 10^{-11}$  Кл/м. При разности углов наклона молекул в поверхностном слое и в центре пленки  $\Delta\theta = 0.2$  рад получим  $P_f \approx 7 \cdot 10^{-5}$  Кл/м $^2$ .

Проведенные оценки показывают, что в плоскости, перпендикулярной  $P_0$ , может возникать флексоэлектрическая поляризация  $P_f$ , заметно превосходящая по величине спонтанную ферроэлектрическую поляризацию  $P_0$ . Величина  $P_f$  в  $10^4$  раз превосходит флексоэлектрическую поляризацию в объемных жидкокристаллических образцах, что связано с существенно большим изгибом директора в пленке.

При  $S$ -образном изгибе директора (рис.4b)  $P_f$  в верхней и в нижней частях пленки направлены в разные стороны. Для не слишком тонкой пленки угол наклона молекул в центре пленки может стать достаточно малым (или нулевым) выше температуры объемного фазового перехода. В этом случае верхняя и нижняя части пленки могут ориентироваться независимо и станет возможен переход к  $C$ -образной ориентации директора (рис.4c) с флексоэлектрическими поляризациями, направленными в одну сторону. При  $P_f > P_0$  более выгодна в электрическом поле  $C$ -образная ориентация, и  $S \rightarrow C$ -переход приведет к 90-градусной переориентации плоскости угла наклона молекул.

Аномальная ориентация наблюдалась нами также в ферроэлектрическом жидкокристалле ДОБАМБЦ. Неоднородная ориентационная структура пленок, связанная со стабилизацией поверхностью наклона молекул и близостью фазового перехода в Sm-A, нематик или в изотропную фазу, типична для жидкокристаллических пленок. В связи с этим можно ожидать аномальной переориентации структур (вызванной переходами типа  $S \rightarrow C$ ) в широком классе жидкокристаллических веществ.

Авторы выражают благодарность Е.И.Кацу, В.И.Марченко за полезные обсуждения. Работа была выполнена при поддержке РФФИ (грант 95-02-05343), ГНТП "Статистическая физика" и INTAS (94-4078).

- 
1. П.Де Жен, *Физика жидкокристаллов*, М.: Мир, 1977 (P.G.de Gennes, *The Physics of Liquid Crystals*, Clarendon Press, Oxford, 1974).
  2. С.А.Пикин, *Структурные превращения в жидкокристаллах*, М.: Наука, 1981.
  3. М.Борн, Э.Вольф, *Основы оптики*, М.: Наука, 1970 (M.Born and E.Wolf, *Principles of Optics*, Pergamon Press, New York, 1964).
  4. T.Stoebe, P.Mach and C.C.Huang, Phys. Rev. Lett., **74**, 1384 (1994).
  5. E.I.Demikhov, V.K.Dolganov and K.P.Meletov, Phys. Rev. E**52**, R1285 (1995).
  6. V.K.Dolganov, E.I.Demikhov, R.Fouret and C.Gors, Phys. Lett. A**220**, 242 (1996).
  7. S.Heinekamp, R.A.Pelcovits, E.Fontes et al., Phys. Rev. Lett. **52**, 1017 (1984).
  8. S.M.Amador and P.S.Pershan, Phys. Rev. A**41**, 4226 (1990).
  9. Ch.Bahr, C.Booth, D.Fliegner and J.W.Goodby, Phys. Rev. E**52**, 4612 (1995).
  10. N.Mikami, R.Higuchi, T.Sakurai et al., Jpn. J. Appl. Phys. **25**, 833 (1986).
  11. Ch.Bahr, C.Booth, D.Fliegner and J.W.Goodby, Europhys. Lett. **34**, 507 (1996).
  12. V.K.Dolganov, E.I.Demikhov, R.Fouret and C.Gors, ЖЭТФ **111**, 949 (1997).
  13. Б.И.Островский, А.З.Рабинович, А.С.Сонин и др., Письма в ЖЭТФ **25**, 80 (1977).
  14. Л.М.Блинов, *Электро- и магнитооптика жидкокристаллов*, М.: Наука, 1978.